

ФЕДЕРАЛЬНОЕ ГОСУДАРСТВЕННОЕ АВТОНОМНОЕ ОБРАЗОВАТЕЛЬНОЕ
УЧРЕЖДЕНИЕ ВЫСШЕГО ОБРАЗОВАНИЯ
«КАЗАНСКИЙ (ПРИВОЛЖСКИЙ) ФЕДЕРАЛЬНЫЙ УНИВЕРСИТЕТ»
ИНСТИТУТ ВЫЧИСЛИТЕЛЬНОЙ МАТЕМАТИКИ И ИНФОРМАЦИОННЫХ
ТЕХНОЛОГИЙ

Кафедра прикладной математики и искусственного интеллекта
Направление подготовки - «Прикладная математика»

КУРСОВАЯ РАБОТА

по дисциплине: «Численные методы»

Система типа хищник-жертва. Модель Холлинга-Тернера.

Студент 2 курса
группы 09-221

«___» _____ 2024 г.

Научный руководитель
ассистент б.с.

«___» _____ 2024 г.

М.А. Саитов

О.В. Глазырина

Казань, 2024 год

Содержание

1	Цель работы	3
2	Теоретические основы выполнения работы	3
3	Метод Рунге-Кутты	4
4	Задание	5
5	Решение тестовой задачи	6
6	Модель Вольтерра	8
7	Заключение	11
8	Список литературы	12
9	Листинг программы	13

1 Цель работы

Целью работы является исследование модели взаимодействия "Хищник - жертва", выявление зависимостей поведения модели в зависимости от значения параметров, описывающих систему, а так же применение метода

2 Теоретические основы выполнения работы

Модель Вольтерра используется для представления взаимодействия двух типов. При моделировании системы "Хищник — Жертва" будем учитывать следующие ограничения:

1. Жертва может найти достаточно пищи для пропитания
2. При каждой встрече с хищником последний убивает жертву
3. Норма рождаемости жертв x_b , нормы естественной смертности жертв x_d и хищников c являются постоянными, $a = x_b - x_d > 0$.
4. Число случаев, когда хищник убивает жертву, зависит от вероятности их встречи и, следовательно, пропорционально произведению xy .
В результате встреч с жертвами число хищников увеличивается.

Обозначим количества хищников и жертв в момент времени t через $y = y(t)$ и $x = x(t)$ соответственно. Тогда с учетом сделанных допущений, модель можно записать в виде:

$$\begin{aligned}\frac{dx}{dt} &= ax - bxy \\ \frac{dy}{dt} &= -cy + dxy\end{aligned}\tag{1}$$

где коэффициенты b, d - коэффициенты убийства жертв и воспроизводства хищников, a - описывает рождаемость жертв, c - естественную смерть жертв.

Произведя в системе (1) замены:

$$X = \frac{d}{a}x, \quad Y = \frac{b}{a}y, \quad \tau = at, \quad \sigma = \frac{c}{a}\tag{2}$$

уравнение (1) преобразуется к виду:

$$\begin{aligned}\frac{dX}{d\tau} &= X - XY \\ \frac{dY}{d\tau} &= -\sigma Y + XY\end{aligned}\tag{3}$$

с начальными условиями:

$$X(0) = X_0, \quad Y(0) = Y_0\tag{4}$$

описывающими количество особей каждого из вида.

3 Метод Рунге-Кутты

Для решения систем дифференциальных уравнений будем использовать метод Рунге – Кутты 4-го порядка точности:

$$\begin{aligned}k_1 &= f(t_n, y_n), \\k_2 &= f\left(t_n + \frac{h}{3}, y_n + \frac{hk_1}{3}\right), \\k_3 &= f\left(t_n + \frac{2h}{3}, y_n - \frac{hk_1}{3} + hk_2\right), \\k_4 &= f(t_n + h, y_n + h(k_1 - k_2 + k_3)), \\y_{n+1} &= y_n + \frac{h(k_1 + 3k_2 + 3k_3 + k_4)}{8}\end{aligned}\tag{5}$$

где $y'(t, y) = k(t, y)$. Задано начальное условие $y(0) = y_0$. Этот метод является методом с постоянным шагом h на отрезке $[a, b]$, значения решения вычисляются в $n = \frac{b-a}{h}$ точках.

Используя приведенный выше метод решить тестовую задачу:

$$y_1' = \frac{y_1}{2+2t} - 2ty_2, \quad y_2' = \frac{y_2}{2+2t} + 2ty_1,\tag{6}$$

на отрезке $[0, 2]$.

4 Задание

В ходе выполнения работы необходимо:

1. Решить тестовую задачу (6), написать процедуру интегрирования на произвольном отрезке $[a, b]$
2. Для тестовой задачи (6) построить графики зависимости максимальной погрешности решения e и $\frac{e}{h^4}$ от шага h .
3. Для двух наборов начальных условий (4) и нескольких значений параметра σ рассчитать динамику популяции. Привести графики решений в координатах (X, Y) и дать их интерпретацию.

5 Решение тестовой задачи

Тестовый вариант задачи будет решен методом Рунге - Кутты 4-го порядка точности. Дана система уравнений (6) с известным точным решением:

$$y_1 = \cos(t^2)\sqrt{1+t}, \quad y_2 = \sin(t^2)\sqrt{1+t} \quad (7)$$

Необходимо решить систему с начальными условиями $y_1(0) = 0, y_2(0) = 1$ на отрезке $[0; 2]$. Перед вычислением коэффициентов стоит заметить, что $y'_1 = y'_1(y_1, y_2, t)$ и $y'_2 = y'_2(y_1, y_2, t)$, тогда:

$$\begin{aligned} k_{11} &= y'_1(t(i), y_1(i), y_2(i)) \\ k_{12} &= y'_2(t(i), y_1(i), y_2(i)) \\ k_{21} &= y'_1(t(i) + \frac{h}{3}, y_1(i) + \frac{h}{3}k_{11}, y_2(i) + \frac{h}{3}k_{12}) \\ k_{22} &= y'_2(t(i) + \frac{h}{3}, y_1(i) + \frac{h}{3}k_{11}, y_2(i) + \frac{h}{3}k_{12}) \\ k_{31} &= y'_1(t(i) + \frac{2h}{3}, y_1(i) - \frac{h}{3}k_{11} + hk_{21}, y_2(i) - \frac{h}{3}k_{12} + hk_{22}) \\ k_{32} &= y'_2(t(i) + \frac{2h}{3}, y_1(i) - \frac{h}{3}k_{11} + hk_{21}, y_2(i) - \frac{h}{3}k_{12} + hk_{22}) \\ k_{41} &= y'_1(t[i] + h, y_1(i) + h(k_{11} - k_{21} + k_{31}), y_2(i) + h(k_{12} - k_{22} + k_{32})) \\ k_{42} &= y'_2(t[i] + h, y_1(i) + h(k_{11} - k_{21} + k_{31}), y_2(i) + h(k_{12} - k_{22} + k_{32})) \\ y_1(i+1) &= y_1(i) + \frac{h}{8}(k_{11} + 3k_{21} + 3k_{31} + k_{41}) \\ y_2(i+1) &= y_2(i) + \frac{h}{8}(k_{11} + 3k_{21} + 3k_{31} + k_{41}) \end{aligned} \quad (8)$$

$$(9)$$

где $i = 1, \dots, \frac{b-a}{h} - 1$

Получим график данных функций:

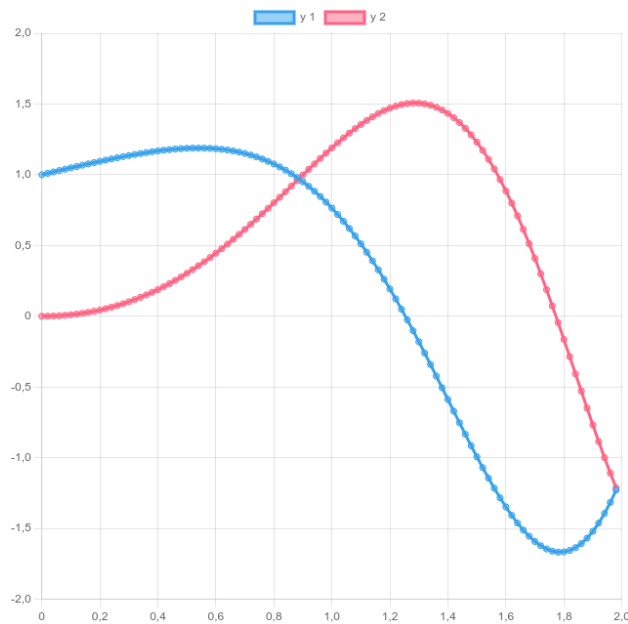


Рис.1 — График двух функций, полученных через метод Рунге - Кутты.

Решив таким образом систему, составим графики зависимости максимальной ошибки решения от шага h^4 :

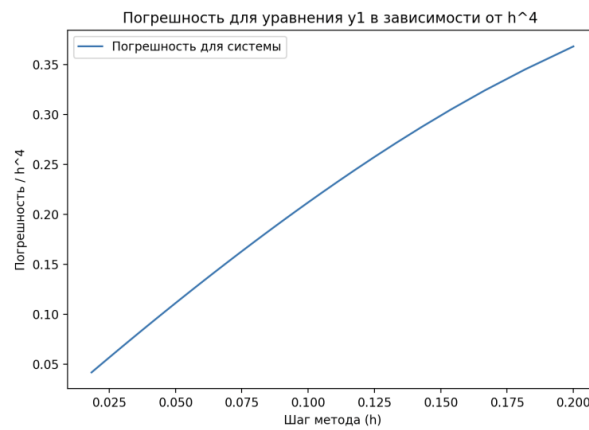


Рис.2 — Зависимость точности решения от шага h^4 .

Исходя из вида графиков, описывающих зависимость точности решения, можно сделать вывод о зависимости точности решения от шага разбиения.

6 Модель Вольтерра

Теперь мы можем, используя правило (5) решить систему (3). Выберем начальные условия $X_0 = 3, Y_0 = 0.5$, начальное число жертв и хищников, соответственно. Исходя из вида системы, отметим, что динамика популяции зависит от параметра $\sigma = \frac{c}{a}$ - отношения смертности хищников к приросту жертв. Выбрав $\sigma = 1$, т.е. установив равное отношение прироста жертв к смертности хищников получим график описывающий размеры популяций жертв и хищников с течением времени (Рис.2). Размер популяции жертв в начальный момент превышает размер популяции хищников, из-за чего вероятность встречи представителей двух видов возрастает, хищник убивает жертву. С уменьшением количества жертв, количество встреч с хищниками убывает. Когда хищники не охотятся, их популяция начинает вымирать. Уменьшение популяции хищников уменьшает вероятность встреч с жертвами, что для последних, при наличии бесконечного числа пищи является причиной резкого увеличения числа представителей вида. Резкое увеличение числа жертв предполагает возрастание числа хищников. Система приходит в циклическое, устойчивое состояние.

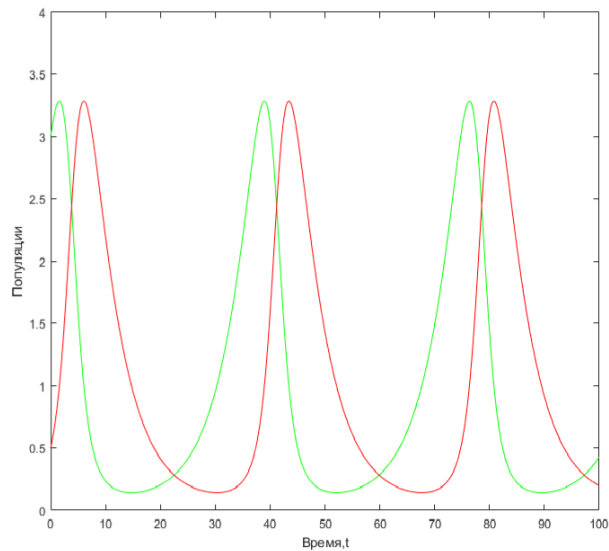


Рис.2 — Размер популяций жертв (зеленый) и хищников (красный) с течением времени.

Теперь выберем $\sigma = 3$, что определит трехкратное увеличение убыли хищников к росту популяций жертв. Поведение популяций видов изменилось, численность популяций изменяется не так сильно, однако, за тот же промежуток времени происходит большее число "колебаний" числа представителей вида (Рис.3).

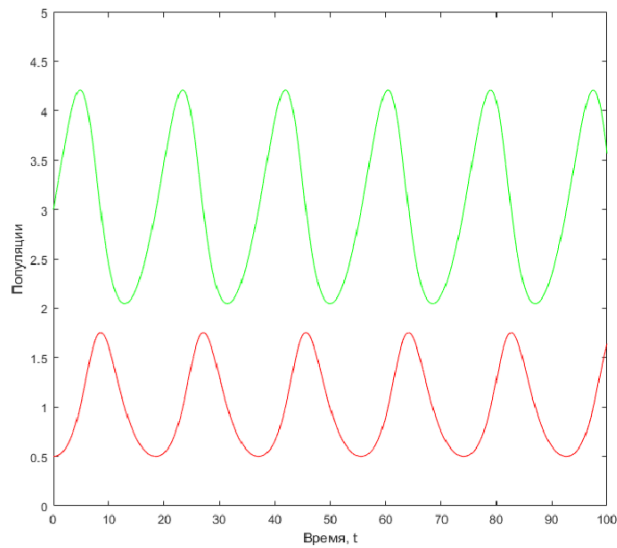


Рис.3 — Изменение популяций видов при $\sigma = 3$.

Применим те же параметры для системы с начальными условиями $X_0 = 1, Y_0 = 4$, что соответствует ситуации, когда в начальный момент число хищников в 4 раза превышает количество жертв. Тенденция стабилизации системы сохраняется (Рис.3), однако при значении $\sigma = 3$ популяция хищников убывает сильнее из-за малого количества доступной изначально пищи и значения коэффициента.

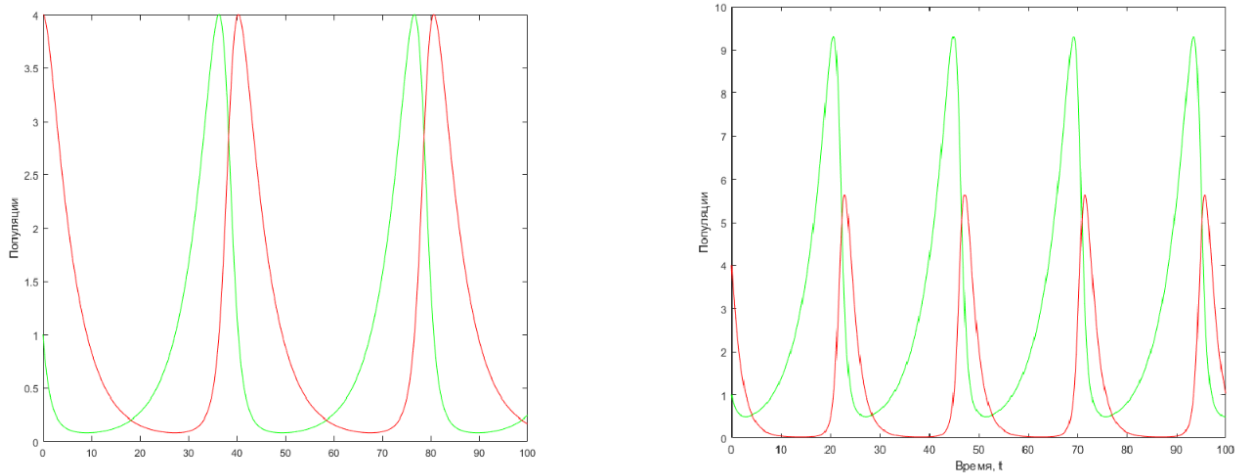


Рис.4 — Вид популяции при других начальных условиях.

Представим графики в координатах (X, Y) для двух рассмотренных начальных условий (Рис. 5).

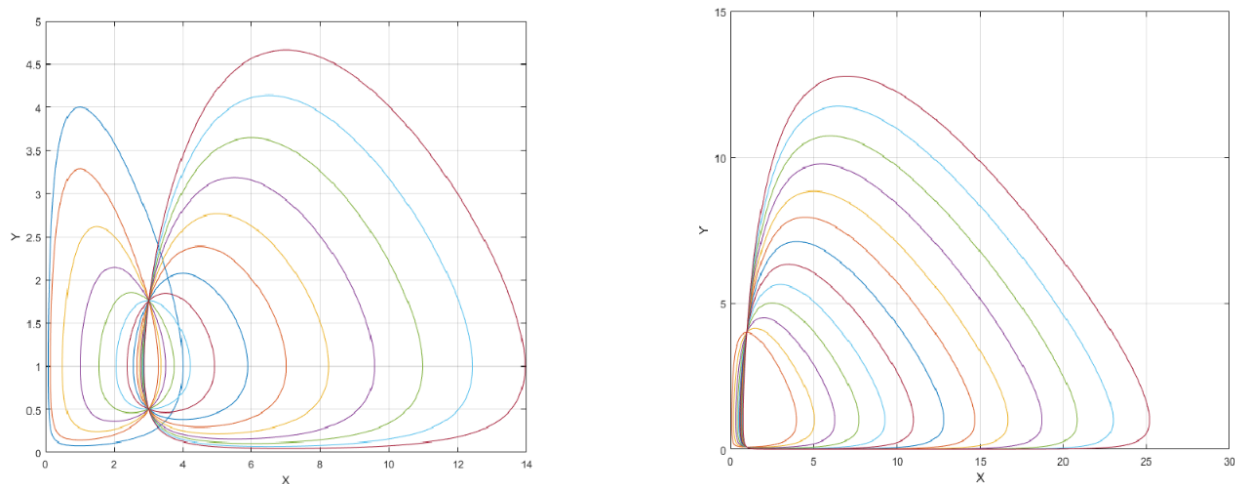


Рис.5 — Графики (X, Y) в зависимости от параметра σ . Линии проведены для значений лежащих в отрезке $[1, 7]$ через 0.5.

7 Заключение

Модель Вольтерра может быть использована для моделирования системы типа "Хищник–жертва". Наблюдая за моделью можно выявить основные закономерности поведения популяций. В ходе работы были рассмотрены модели с различными значениями начального размера популяций, коэффициентов определяющих отношение убыли одного вида к приросту другого. При выполнении задачи был использован метод Рунге–Кутты для решения систем дифференциальных уравнений. Метод позволяет решать уравнения с достаточной степенью точности, достаточной для корректного моделирования системы.

8 Список литературы

1. Глазырина Л.Л., Карчевский М.М. Численные методы: учебное пособие. — Казань: Казан. ун-т, 2012. — 122
2. Глазырина Л.Л.. Практикум по курсу «Численные методы». Решение систем линейных уравнений: учеб. пособие. — Казань: Изд-во Казан. ун-та, 2017. — 52 с.

9 Листинг программы

```
1 #include <iostream>
2 #include <vector>
3 #include <cmath>
4 #include <iomanip>
5
6 #define a 0.0
7 #define b 2.0
8
9 double y1_test(double t, double y1, double y2) {
10     return (y1 / (2 + 2 * t)) - 2 * t * y2;
11 }
12
13 double y2_test(double t, double y1, double y2) {
14     return (y2 / (2 + 2 * t)) + 2 * t * y1;
15 }
16
17 void solve_test(double h, double x0, double y0, std::vector<double>&
18     t, std::vector<double>& y1, std::vector<double>& y2) {
19     int n = static_cast<int>((b - a) / h + 1);
20     t = std::vector<double>(n);
21     y1 = std::vector<double>(n);
22     y2 = std::vector<double>(n);
23     t[0] = double(a);
24     y1[0] = x0;
25     y2[0] = y0;
26
27     for (int i = 0; i < n - 1; i++) {
28         t[i + 1] = t[i] + h;
29         double k11 = y1_test(t[i], y1[i], y2[i]);
30         double k12 = y2_test(t[i], y1[i], y2[i]);
31
32         double k21 = y1_test(t[i] + h / 3, y1[i] + h * k11 / 3, y2[i]
33             + h * k12 / 3);
34         double k22 = y2_test(t[i] + h / 3, y1[i] + h * k11 / 3, y2[i]
35             + h * k12 / 3);
36
37         double k31 = y1_test(t[i] + 2 * h / 3, y1[i] - h * k11 / 3 +
38             h * k21, y2[i] - h * k12 / 3 + h * k22);
39         double k32 = y2_test(t[i] + 2 * h / 3, y1[i] - h * k11 / 3 +
40             h * k21, y2[i] - h * k12 / 3 + h * k22);
41
42         double k41 = y1_test(t[i] + h, y1[i] + h * (k11 - k21 + k31),
43             y2[i] + h * (k12 - k22 + k32));
44         double k42 = y2_test(t[i] + h, y1[i] + h * (k11 - k21 + k31),
45             y2[i] + h * (k12 - k22 + k32));
46
47         y1[i + 1] = y1[i] + h * (k11 + 3.0 * k21 + 3.0 * k31 + k41) /
48             8.0;
49         y2[i + 1] = y2[i] + h * (k12 + 3.0 * k22 + 3.0 * k32 + k42) /
50             8.0;
51     }
52 }
```

```

44
45 void exact(double h, std::vector<double>& y1, std::vector<double>& y2
    ) {
46     int n = static_cast<int>((b - a) / h + 1);
47     y1.resize(n);
48     y2.resize(n);
49     for (int i = 0; i < n; ++i) {
50         double t = a + i * h;
51         y1[i] = std::cos(t * t) * std::sqrt(1 + t);
52         y2[i] = std::sin(t * t) * std::sqrt(1 + t);
53     }
54 }
55
56 int main() {
57     double x0 = 1;
58     double y0 = 0;
59     int n = 100;
60     double h = (b - a) / n;
61
62     // Решение методом Рунге-Кутты - 4-го порядка
63     std::cout << "Метод Рунге-Кутты - 4-го порядка" << std::endl;
64     std::vector<double> t(n);
65     std::vector<double> x(n);
66     std::vector<double> y(n);
67     solve_test(h, x0, y0, t, x, y);
68     for(int i = 0; i < n; ++i) {
69         std::cout << t[i] << " " << x[i] << " " << y[i] << std::endl;
70     }
71
72
73     // Точное решение
74     // std::cout << "Точное решение" << std::endl;
75     // std::vector<double> x1, y1;
76     // exact(h, x1, y1);
77     // for(int i = 0; i < n; ++i) {
78     //     std::cout << t[i] << " " << x1[i] << " " << y1[i] << std::
        endl;
79     // }
80
81     return 0;
82 }

```